

Sprint 3 – ALGAV

Grupo 28

Tiago Marques – 1201276

Eduardo Silva – 1201371

João Vieira – 1201376

Pedro Alves – 1201381

Pedro Rocha – 1201382

janeiro, 2023

Índice de conteúdos

1 – Introdução	4
2 – Criação da população inicial do Algoritmo Genético (AG)	5
3 – Aleatoriedade no cruzamento entre indivíduos da população	6
4 – Seleção da nova geração da população	7
5 – Análise de eficácia	9
6 – Parametrização da condição de término do AG	11
7 – Uso do Algoritmo Genético para lidar com vários camiões	12
8 - Estudo de métodos de Aprendizagem Automática ao problema da distribuição de mercadorias e/ou uso de veículos elétricos	14
8.1. Inteligência Artificial na Logística	14
8.2. Soluções existentes.....	14
8.2.1. Roteamento de veículos	14
8.2.2. Previsão do tempo de entrega.....	15
8.2.3. Previsão da energia – veículos elétricos	16
8.2.4. Prevenção de Erros.....	16
8.2.5. Inovação.....	17
8.3 Conclusões do estudo bibliográfico	17
9 – Avaliação da questão das alterações dinâmicas das entregas	18
10 – Conclusões.....	20
Referências	21

Índice de figuras

Figura 1 - Predicado gera/1	5
Figura 2 - Output da população.....	6
Figura 3 - Código referente à permutação da população e realização de cruzamentos	6
Figura 4 - Output da população e tentativas de cruzamentos efetuados	6
Figura 5 - Predicado nao_elitista/4.....	7
Figura 6 - Código referente à seleção dos indivíduos para a nova geração	8
Figura 7 - Output da população e dos indivíduos selecionados para integrarem a próxima geração	8
Figura 8 - Gráfico de análise à Tabela 5	10
Figura 9 - Verificação da ultrapassagem do tempo limite de execução	11
Figura 10 – Output de quando o tempo limite é excedido	11
Figura 11 - Definição do número de camiões para um dado dia de entregas	12

Figura 12 - Determinação do número de entregas a realizar por cada caminhão e o tempo total para realizá-las	12
Figura 13 - Verificação da violação da capacidade de carga do caminhão.....	13
Figura 14 - Handler e inicialização do servidor prolog.....	18
Figura 15 – Exemplo de predicado responsável por fazer request aos módulos e preparar para escrita no ficheiro	18
Figura 16 - Exemplo de predicado para escrita no ficheiro	19

Índice de tabelas

Tabela 1 - Número de melhores indivíduos que asseguram a passagem à próxima geração	7
Tabela 2 - Parametrização de ambos os Algoritmos Genéticos.....	9
Tabela 3 - Valores retornados pelos Algoritmos Genéticos	9
Tabela 4 - Parametrização de ambos os Algoritmos Genéticos.....	9
Tabela 5 - Valores retornados pelos Algoritmos Genéticos e gerador de todas as soluções.....	10

1 – Introdução

Este relatório contém todas as explicações e opções tomadas relativamente às funcionalidades requisitadas no último sprint do projeto integrador, no que diz respeito à unidade curricular de Algoritmia Avançada.

As funcionalidades propostas suportam um fator comum entre todas, o Algoritmo Genético. Além da adaptação no contexto intrínseco do projeto e melhoria do mesmo, foram ainda implementadas no Algoritmo Genético, duas funcionalidades que estarão enunciadas e descritas devidamente neste relatório.

Foi solicitado, também, o estudo de métodos de Aprendizagem Automática referente ao tema em questão, a distribuição de mercadorias e/ou uso de veículos elétricos. Desta forma, procedeu-se à pesquisa de artigos científicos relacionados e ao tratamento dos mesmos.

2 – Criação da população inicial do Algoritmo Genético (AG)

A criação da população inicial do Algoritmo Genético é o primeiro procedimento a realizar aquando da execução do algoritmo. Para isso, é necessário conhecer quais os armazéns que vão receber uma entrega. A lista de armazéns que irão receber uma entrega é gerada através da utilização do predicado *findall/3*. O predicado *entrega/6* representa todas as entregas a utilizar para geração da solução, sendo que este se encontra na base de conhecimento.

Na versão do Algoritmo Genético original, durante a criação da população inicial, os indivíduos são gerados aleatoriamente. Uma das alterações que foram realizadas, foi a inserção de 2 indivíduos gerados por duas heurísticas desenvolvidas no último sprint. As heurísticas escolhidas foram:

- Heurística que avalia a massa de cada entrega;
- Heurística que avalia o tempo necessário para a realização da entrega.

Após a utilização das heurísticas, verifica-se se as duas soluções geradas são iguais. Em caso de igualdade, ocorre a troca de 2 genes de um dos indivíduos. Neste caso, troca-se os dois primeiros genes da solução gerada pela heurística do tempo através do predicado *troca_2_ele/2*, em que retorna uma nova lista com os dois primeiros genes trocados em relação à lista enviada no primeiro parâmetro.

No final, é chamado o predicado *gera_populacao/4*, que vai então gerar os indivíduos aleatoriamente. Como já foram gerados 2 indivíduos pelas heurísticas, o predicado irá gerar *TamPop-2* indivíduos, sendo o *TamPop* o tamanho desejado para a população.

Os procedimentos descritos anteriormente correspondem ao bloco de código representado na seguinte figura:

```
gera_populacao(Pop):-
    populacao(TamPop),
    entregas(NumT),
    findall(Local,entrega(_,_,_,Local,_,_),ListaArmazens),
    bfsMassa(EI2,_),
    bfs_tempo(EI1,_),
    tirar_cabeca(EI2,E2),
    tirar_cabeca(EI1, E1),
    (((E1 == E2),troca_2_ele(E1,Enovo));troca_lista(E1,Enovo)),
    write('Indivíduo gerado pela heurística do tempo= '),write(Enovo),nl,
    write('Indivíduo gerado pela heurística da massa= '),write(E2),nl,
    gera_populacao(TamPop-2,ListaArmazens,NumT,PopGerada),
    append([Enovo,E2],PopGerada,Pop),!.
```

Figura 1 - Predicado gera/1

De referir ainda que, de modo a não permitir a existências de dois indivíduos, é utilizado o predicado *member/2*, acompanhado do predicado *not/1*, em cada iteração *gera_populacao/4*, que verifica a repetição do individuo gerado na lista de indivíduos já adquiridos.

Na figura seguinte está representado um exemplo de output, em que o tamanho da população é 3.

```
?- gera(3,3,50,50, ListaFinal,Av).
Indivíduo gerado pela heurística do tempo= [V04,P02,G01,S02,P03,A01]
Indivíduo gerado pela heurística da massa= [G01,P03,V04,S02,A01,P02]
Populacao gerada = [[V04,P02,G01,S02,P03,A01],[G01,P03,V04,S02,A01,P02],[P03,A01,P02,S02,G01,V04]]
```

Figura 2 - Output da população

3 – Aleatoriedade no cruzamento entre indivíduos da população

Aquando da realização dos cruzamentos entre os indivíduos da população, estes só se verificavam para elementos consecutivos da população.

De modo a alterar a lógica inicial dos cruzamentos, utiliza-se o predicado *random_permutation/2* para permutar aleatoriamente a lista que recebe como primeiro parâmetro (neste caso corresponde à população). Assim, como o predicado *cruzamento/2*, que é responsável por realizar os cruzamentos na população, efetua cruzamentos entre 2 elementos consecutivos, como mostra a *Figura 3*, a permutação irá permitir cruzamentos que não seriam avaliados caso fosse utilizada a população sem permutações.

```
gera_geracao(N,G,Pop,TempoInicial,ListaRetorno):-
write('Geracao '), write(N), write(':'), nl, write(Pop), nl,
populacao(DP),
random_permutation(Pop,RandPop),
cruzamento(RandPop,CruzPop),
```

Figura 3 - Código referente à permutação da população e realização de cruzamentos

De modo a demonstrar a aleatoriedade dos cruzamentos, é apresentada a figura seguinte:

```
?- gera(3,4,50,50, ListaFinal,Av).
Indivíduo gerado pela heurística do tempo= [V04,P02,G01,S02,P03,A01]
Indivíduo gerado pela heurística da massa= [G01,P03,V04,S02,A01,P02]
Populacao gerada = [[V04,P02,G01,S02,P03,A01],[G01,P03,V04,S02,A01,P02],[V04,P02,P03,G01,S02,A01],[G01,P02,S02,P03,A01,V04]]
PopAv=[[V04,P02,G01,S02,P03,A01]*456.9438356164383,[G01,P03,V04,S02,A01,P02]*541.1061643835617,[V04,P02,P03,G01,S02,A01]*514.327397260274,[G01,P02,S02,P03,A01,V04]*506.9082191780822]
Geracao 0
[[V04,P02,G01,S02,P03,A01]*456.9438356164383,[G01,P02,S02,P03,A01,V04]*506.9082191780822,[V04,P02,P03,G01,S02,A01]*514.327397260274,[G01,P03,V04,S02,A01,P02]*541.1061643835617]
Cruzamento entre [G01,P02,S02,P03,A01,V04] e [G01,P03,V04,S02,A01,P02]
Cruzamento entre [V04,P02,P03,G01,S02,A01] e [V04,P02,G01,S02,P03,A01]
Geracao 1
[[V04,P02,G01,S02,P03,A01]*456.9438356164383,[G01,P02,S02,P03,A01,V04]*506.9082191780822,[V04,P02,P03,G01,S02,A01]*514.327397260274,[V04,P02,P02,S02,A01,G01]*517.508904109589]
Cruzamento entre [G01,P02,S02,P03,A01,V04] e [V04,P02,G01,S02,P03,A01]
Cruzamento entre [V04,P02,P03,G01,S02,A01] e [V04,P02,P03,G01,S02,A01]
Geracao 2
[[V04,P02,G01,S02,P03,A01]*456.9438356164383,[V04,P02,G01,S02,A01,P03]*504.3719178082192,[G01,P02,S02,P03,A01,V04]*506.9082191780822,[V04,P02,P03,S02,A01,G01]*517.508904109589]
Cruzamento entre [V04,P02,G01,S02,P03,A01] e [V04,P02,G01,S02,A01,P03]
Cruzamento entre [G01,P02,S02,P03,A01,V04] e [V04,P02,P03,S02,A01,G01]
```

Figura 4 - Output da população e tentativas de cruzamentos efetuados

Pela análise da *Figura 4*, podemos concluir que a tentativa de cruzamentos está, de facto, a ser realizada aleatoriamente, visto que, por exemplo, da primeira para a segunda geração, existe uma tentativa de efetuar cruzamentos entre o segundo e o quarto indivíduo e entre o primeiro e o terceiro indivíduo da população, sendo estes indivíduos não consecutivos.

4 – Seleção da nova geração da população

Após obter os descendentes por cruzamento e realizar mutações, esta nova população irá ser intercalada com a já existente utilizando o predicado *union/3* que irá assegurar também a não existência de indivíduos repetidos na nova população gerada.

Como é referido nos documentos disponibilizados, é assegurada a passagem de cerca de 20% da população para a geração seguinte. Esta seleção é feita através do predicado *round/1*, em que o número de indivíduos que irão transitar de geração é dado pelo arredondamento do cálculo $0.20 \cdot DP$, sendo *DP* a dimensão da população. Numa forma de especificar os cálculos, apresentamos a tabela seguinte:

<i>Dimensão da população</i>	<i>Número de melhores indivíduos que asseguram a passagem à próxima geração</i>
3	$0.2 \cdot 3 = 0.6 \approx 1$
4	$0.2 \cdot 4 = 0.8 \approx 1$
5	$0.2 \cdot 5 = 1$
6	$0.2 \cdot 6 = 1.2 \approx 1$
7	$0.2 \cdot 7 = 1.4 \approx 1$
8	$0.2 \cdot 8 = 1.6 \approx 2$
9	$0.2 \cdot 9 = 1.8 \approx 2$
10	$0.2 \cdot 10 = 2$

Tabela 1 - Número de melhores indivíduos que asseguram a passagem à próxima geração

A lista que contém os melhores elementos é denominada de *Select* e a lista com os restantes elementos é denominada de *Rest*. De seguida, esta última passa por um processo de seleção não elitista, dando oportunidade a todos os indivíduos da lista de transitarem para a geração seguinte e não apenas aos melhores da mesma.

Por base nos documentos de suporte ao projeto, é implementado o predicado *valores_avaliacao/2* em que irá multiplicar por um número aleatório entre 0 e 1, a avaliação de cada indivíduo. Assim, aquando da chamada do predicado *nao_elitista/4*, este último irá utilizar a lista retornada pelo predicado anteriormente descrito e irá ordená-la através do predicado *ordena_populacao/2*. Após a ordenação e selecionando os primeiros *IndividuosSG* (calculado através da diferença entre a dimensão da população e o número de melhores indivíduos que asseguram a passagem à próxima geração) indivíduos, o predicado retorna então a lista dos selecionados.

```
nao_elitista(NIndividuos,RestNovo,P,MPopOrd):-  
    IndivuosSG is NIndividuos - P,  
    ordena_populacao(RestNovo,RestNovoOrd),  
    select_first_n(RestNovoOrd,IndivuosSG,MPopOrd).
```

Figura 5 - Predicado nao_elitista/4

Assim, garante-se que a seleção dos indivíduos não é elitista. No final, utiliza-se o predicado *append/3* para então juntar os melhores indivíduos selecionados aos que foram escolhidos por torneio. Toda a explicação apresentada é referente ao seguinte bloco de código:

```
P1 is round(0.20*DP),
((P1 < 1, P is P1+1); P is P1),
select_first_n(PopTotalOrd,P,Select),
remove_elements(PopTotalOrd,P,Rest),

valores_avaliacao(Rest, RestNovo),
nao_elitista(DP,RestNovo,P,MPOPTotal),

lista_com_produto_avaliacao(MPOPTotal, MPOPTotalOriginal),

avalia_populacao(MPOPTotalOriginal, MPOPTotalAv),

append(Select,MPOPTotalAv,MPOPTotalAp),
```

Figura 6 - Código referente à seleção dos indivíduos para a nova geração

Para demonstrar que a seleção não é elitista, analisemos o output seguinte:

```
Geracao 8
[[[P02.P03.G01.S02.P03.A01]*456 943835614383.[S02.P03.P02.V04.G01.A01]*462 3406301369863.[P02.S02.G01.V04.A01.P03]*533 6006049315069.[G01.P03.V04.S02.A01.P02]*541 1061643835617.[P02.S02.A01.V04.P03.G01]*470 3640410958903]
Cruzamento entre [P04.P02.G01.S02.P03.A01] e [P02.S02.G01.V04.A01.P03]
Cruzamento entre [P02.S02.A01.V04.P03.G01] e [S02.P03.P02.V04.G01.A01]
Individuo(s) selecionado(s) [[P04.P02.G01.S02.P03.A01]*456 943835614383]
Individuo(s) nao selecionado(s) [[S02.P03.P02.V04.G01.A01]*462 3406301369863.[P02.S02.G01.V04.A01.P03]*533 6006049315069.[S02.P03.P02.V04.A01.G01]*535 9376712328767.[G01.P03.V04.S02.A01.P02]*541 1061643835617.[A01.P03.V04.S02.G01.P02]*554 2191780821918.[P02.S02.A01.V04.P03.G01]*470 3640410958903]
Individuo(s) selecionado(s) por torneio [[P02.S02.A01.V04.P03.G01]*470 3640410958903.[S02.P03.P02.V04.G01.A01]*462 3406301369863.[G01.P03.V04.S02.A01.P02]*541 1061643835617.[A01.P03.V04.S02.G01.P02]*554 2191780821918]
```

Figura 7 - Output da população e dos indivíduos selecionados para integrarem a próxima geração

Neste caso, foi selecionado o melhor indivíduo da população, os restantes indivíduos não selecionados participaram no torneio em que, por exemplo, o pior indivíduo foi selecionado para integrar a seleção seguinte, enquanto o terceiro melhor indivíduo da população atual não foi selecionado. Concluímos que é feita uma seleção não elitista dos indivíduos para ingressarem na geração seguinte.

5 – Análise de eficácia

Primeiramente, iremos comparar entre o melhor indivíduo da última geração do Algoritmo Genético desenvolvido com o de base e o valor médio das avaliações de todos os indivíduos da população final de cada algoritmo.

Sendo assim, apresentamos as seguintes tabelas:

Dimensão da população	5
Número de gerações	5
Probabilidade de cruzamento	0,5
Probabilidade de mutação	0,25

Tabela 2 - Parametrização de ambos os Algoritmos Genéticos

Tentativas	AG base		AG desenvolvido	
	Melhor indivíduo (Minutos)	Média dos indivíduos (Minutos)	Melhor indivíduo (Minutos)	Média dos indivíduos (Minutos)
1	462,36	499,20	456,94	530,46
2	511,14	558,17	386,55	506,78
3	492,87	586,49	456,78	501,23

Tabela 3 - Valores retornados pelos Algoritmos Genéticos

Pela análise da *Tabela 3*, verificamos que os melhores indivíduos gerados pelo Algoritmo Genético desenvolvido são melhores em relação aos que são gerados pelo Algoritmo Genético base. Optou-se por apresentar 3 tentativas de modo a despistar casos “felizes” ou “infelizes” para ambos os algoritmos. Verificamos também que a média dos indivíduos da última geração é, de maneira geral, menor no Algoritmo Genético desenvolvido que no de base.

Assim sendo, iremos agora analisar valores para casos de 6 a 12 entregas. A parametrização utilizada nos algoritmos é descrita na tabela seguinte:

Dimensão da população	Número de entregas a realizar
Número de gerações	10
Probabilidade de cruzamento	0,5
Probabilidade de mutação	0,25

Tabela 4 - Parametrização de ambos os Algoritmos Genéticos

A tabela abaixo retratada contém, além dos dois algoritmos, um terceiro algoritmo que gera todas as soluções e escolhe a melhor. São apresentados os valores para cada número de entregas a realizar.

Número de entregas	Melhor solução total do problema (Minutos)	AG base		AG desenvolvido	
		Melhor indivíduo (Minutos)	Média dos indivíduos (Minutos)	Melhor indivíduo (Minutos)	Média dos indivíduos (Minutos)
6	380,05	506,10	544,24	456,94	513,89
		484,20	546,18	441,82	491,45
		495,11	524,38	454,69	512,88
7	533,87	676,37	789,59	633,62	717,80
		682,95	856,44	550,03	655,71
		694,55	828,01	565,33	734,13
8	613,12	840,03	975,16	740,40	908,48
		815,73	1044,19	650,57	756,21
		793,34	997,06	730,95	858,68
9	669,60	838,56	1121,43	766,93	899,04
		968,67	1147,69	808,39	979,11
		861,91	1090,74	724,27	952,55
10	-	1150,09	1406,27	814,49	1137,21
		1216,46	1446,08	814,49	1177,00
		1111,71	1370,26	814,49	1111,52
11	-	1348,61	1549,33	1057,36	1395,26
		1303,96	1519,62	1162,26	1395,12
		1267,59	1529,99	1229,25	1374,98
12	-	1437,41	1746,15	1102,99	1273,71
		1412,41	1631,29	1142,98	1523,42
		1306,87	1627,23	1104,72	1347,24

Tabela 5 - Valores retornados pelos Algoritmos Genéticos e gerador de todas as soluções

Para complementar a análise da Tabela 5, é apresentado o seguinte gráfico:

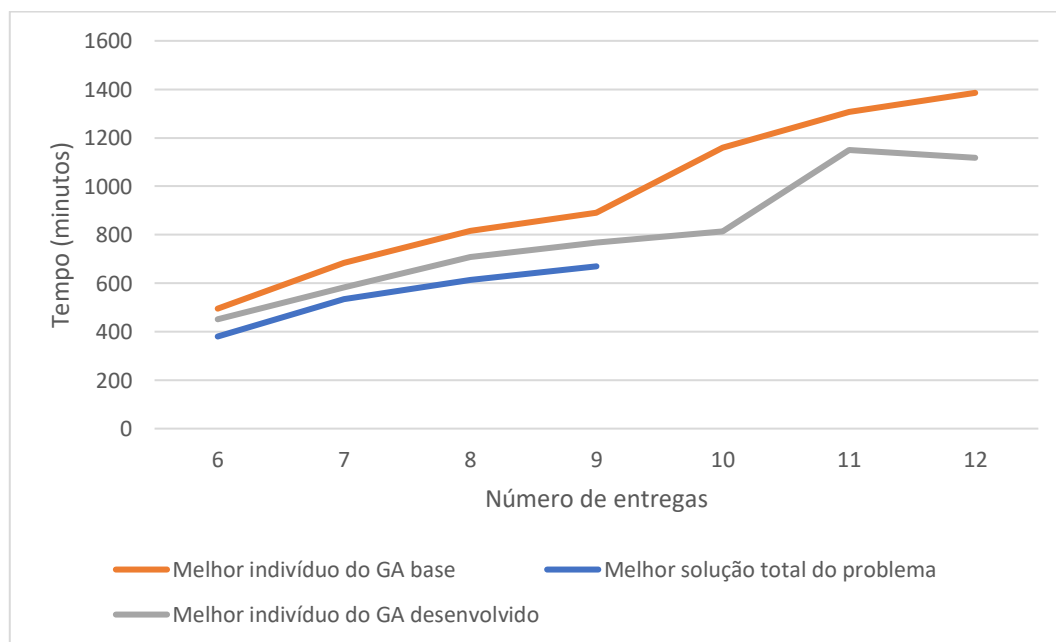


Figura 8 - Gráfico de análise à Tabela 5

Pela análise do gráfico e da tabela anteriores, podemos concluir que o Algoritmo Genético desenvolvido gera melhores soluções que o Algoritmo Genético base. De referir ainda que é apresentada melhor solução total do problema são apresentados apenas valores até às 9 entregas, visto que a partir desse número de entregas não é possível gerar valores devido à *stack* ser insuficiente.

Podemos referir também que a diferença entre os valores gerados pelos dois algoritmos é exponencial, logo, quanto maior o número de entregas a realizar, mais díspares serão os valores gerados por ambos os algoritmos.

O gráfico apresentado foi realizado através da média das tentativas para os valores gerados para cada número de entregas.

Concluindo, o algoritmo desenvolvido, com todas as modificações e melhorias aconselhadas nos documentos disponibilizados pela unidade curricular, gera melhores soluções que o algoritmo base. Naturalmente, o algoritmo desenvolvido no sprint anterior, em que analisa todas as soluções e retorna a ótima, irá sempre gerar uma melhor solução. No entanto, consideramos que o Algoritmo Genético é mais eficiente e mais dinâmico na forma de gerar soluções.

6 – Parametrização da condição de término do AG

Além da condição de término natural do Algoritmo Genético, em que termina a sua execução quando atingir o número de gerações especificadas, foi implementada uma nova condição de término. De dentre as condições de término referidas, a que se optou foi pela definição de um tempo máximo de execução do algoritmo.

Assim sendo, no início da execução do algoritmo, é utilizado o predicado *get_time/1*, que indica o tempo atual, ficando assim com uma referência do tempo de quando o algoritmo começou a sua execução.

Para verificar se o tempo limite de execução foi atingido, é utilizado novamente o predicado *get_time/1* em cada iteração do predicado *gera_geracao/5*, verificando através da diferença do tempo atual e o tempo do início de execução do algoritmo se esta é maior que o limite estipulado.

```
gera_geracao(_,_,Pop,TempoInicial,Pop):-  
    get_time(TempoAtual),  
    TempoConsumido is TempoAtual-TempoInicial,  
    TempoConsumido > 0.1,  
    write('Tempo esgotado: '), write(TempoConsumido),nl,!.
```

Figura 9 - Verificação da ultrapassagem do tempo limite de execução

Caso ultrapasse o limite, a execução é terminada e é apresentada uma mensagem de aviso contendo o tempo de execução, em segundos, como mostra a figura seguinte.

```
Tempo esgotado: 0.11302495002746582
```

Figura 10 – Output de quando o tempo limite é excedido

7 – Uso do Algoritmo Genético para lidar com vários camiões

Quando a carga das entregas definidas para um dado dia é superior à capacidade do camião (que se pressupõe a mesma para todos, isto é, 4300 kg), as entregas são divididas entre mais do que um camião, com ajuda do Algoritmo Genético. Para que a definição do número de camiões a realizar entregas para esse dia possa ser feita, é necessário dividir a carga total das entregas pela capacidade do camião, arredondando um valor para cima. Se após a divisão, a parte decimal for superior a 0.8, acrescenta-se 1 ao valor arredondando, de modo a evitar uma grande frequência de violações de capacidade da carga.

```
num_camioes(N):-soma_carga(Soma), N1 is Soma/4300, floor(N1, Inteira), Decimal is N1-Inteira,
((Decimal > 0.8, N is Inteira+2); (Decimal > 0, N is Inteira+1)).

soma_carga(Soma):-findall(Carga, entrega(_,_,Carga,_,_), Lista), soma_lista(Lista, Soma).

soma_lista([],0).
soma_lista([H|T],Soma):-soma_lista(T,Soma1), Soma is Soma1 + H.
```

Figura 11 - Definição do número de camiões para um dado dia de entregas

Após isto, é chamado o predicado *avalia_populacao_mquc/2*, que determina quantas entregas serão atribuídas a cada camião através da divisão entre o número de entregas para o dado dia e o número de camiões que irão realizar as mesmas. O valor resultante será arredondado para a unidade abaixo, e o último camião ficará com o resto. De seguida, é definido o tempo total que cada um necessita para levar ao destino as mesmas.

```
avalia_populacao_mquc([],[]).
avalia_populacao_mquc([Lista|Resto],[Lista*Soma|Resto1]):-
    camioes(Num_camioes), entregas(Num_entregas), EntregasCamiao is Num_entregas/Num_camioes,
    floor(EntregasCamiao, EntregasCamiaoFloor),
    separar_lista_mais_que_um_camiao_2(Lista, _, Avaliacao,EntregasCamiaoFloor, Num_camioes),
    format_avaliacao(Avaliacao, AvaliacaoFinal),
    somarAv(AvaliacaoFinal, Soma),
    avalia_populacao_mquc(Resto,Resto1).

somarAv([],0).
somarAv([H|T],Soma):-
    somarAv(T,Soma1),
    Soma is Soma1 + H.
```

Figura 12 - Determinação do número de entregas a realizar por cada camião e o tempo total para realizá-las

Depois de atribuídas as entregas a cada camião, é necessário certificar que a soma da carga da mesma não ultrapassa a capacidade do camião. Se em algum momento, em algum camião, tal se verificar, a lista de entregas é permutada com as listas de entregas dos outros, através do predicado *random_permutation/2* e, isto acontece, até não ocorrer em nenhum dos camiões a infração de capacidade de carga.

```
verificar_carga(Lista, ListaApta):-camioes(Num_camioes), entregas(Num_entregas), EntregasCamiao is Num_entregas/Num_camioes,
floor(EntregasCamiao, Inteira), carga_por_camiao(Lista, Inteira,_,Num_camioes,_,ListaApta),!.

carga_por_camiao([],_,_,_,[]):-!.
carga_por_camiao([H|T],Inteira,Soma,Num_camioes,Baralhar,ListaApta):-
carga_por_camiao2(H,Inteira,_,_,Num_camioes,Baralhar, Flag),
((Flag is 1,!, removerAv(H,ListaSemAv), random_permutation(ListaSemAv,ListaPermutada),
avalia_individuo(ListaPermutada, ListaPermutadaAv),
carga_por_camiao([ListaPermutadaAv|T], Inteira, Soma,Num_camioes,_,ListaApta)).

carga_por_camiao([H|T],Inteira,Soma,Num_camioes,Baralhar,[H|ListaApta]):-(carga_por_camiao(T,Inteira,Soma,Num_camioes,Baralhar,ListaApta)).

carga_por_camiao2([],_,_,0,[],_,_):-!.

carga_por_camiao2([H|T]*_,Inteira,Soma,Lista,Num_camioes, Baralhar, Flag):- Baralhar \== 1,!,
carga_por_camiao3([H|T],Inteira,Soma, Lista,Num_camioes),
((Soma > 4300,!, Baralhar1 is 1); Baralhar1 is 0),
Numero_camioes is Num_camioes - 1, subtract([H|T], Lista, Lista2),
carga_por_camiao2(Lista2*_, Inteira, _,_,Numero_camioes,Baralhar1,Flag1),
((Flag1 \== 1,!, Flag is Baralhar1);(Flag is Flag1)).

carga_por_camiao2(_____,1,_,_):-!.

carga_por_camiao3([],_,_,[],1):-!.
carga_por_camiao3(_____, 0, 0, [],_):-!.
carga_por_camiao3([H|T],Inteira,Soma,[H|Lista],Num_camioes):-
((Num_camioes is 1,!, ParteInteira is Inteira + 1); (ParteInteira is Inteira)), Inteira1 is ParteInteira - 1,
carga_por_camiao3(T,Inteira1,Soma1,Lista,Num_camioes), entrega(_____,Carga,H,_____), Soma is Carga+Soma1.

removerAv(Lista*_,Lista):-!.

```

Figura 13 - Verificação da violação da capacidade de carga do camião

Finalmente, a população é ordenada e as seguintes gerações são geradas, com recurso a cruzamentos e mutações e com a chamada ao método não elitista, que permite a indivíduos com pior avaliação poderem passar à geração seguinte. No final, a população é novamente ordenada por ordem crescente de avaliação, ou seja, tempo total para a realização das entregas.

Apesar de esta solução permitir atribuir as entregas a vários camiões, o facto de o último camião ficar com mais entregas pode aumentar o número de permutações e, conseqüentemente, o tempo de execução do método e, no pior dos casos, nunca atingir uma solução. No entanto, a probabilidade de tal acontecer é reduzida, a não ser que a totalidade da carga das entregas seja muito elevada e haja poucos camiões.

8 - Estudo de métodos de Aprendizagem Automática ao problema da distribuição de mercadorias e/ou uso de veículos elétricos

8.1. Inteligência Artificial na Logística

A Inteligência Artificial tem sido usada para aperfeiçoar os procedimentos tradicionais da logística, aumentando a confiabilidade e o processamento rápido na escolha de rotas de entrega, reduzindo assim os custos de transporte [1].

Giuffrida, refere que o crescimento do *e-commerce* está a resultar no aumento da expectativa dos consumidores perante um serviço de entrega customizado e no aumento da pressão nos fornecedores nas cadeias de abastecimento [1]. Refere também que para além se reduzir a segurança rodoviária graças à circulação de veículos pesados, a circulação dos mesmos aumenta o congestionamento do trânsito e aumenta a emissão de gases na atmosfera (25% de CO₂ e 30 a 50% de PM e NO_x) [1].

Face à otimização das técnicas tradicionais (p.e. uso de sensores e *IoT*) têm sido geradas diversas informações que precisam de ser tratadas, sendo assim cultivado o uso de Big Data e técnicas analíticas [1].

A Logística de Última Milha (Last Mile Logistics) refere-se à parte do ciclo de vida das cadeias de abastecimento, onde as mercadorias são entregues desde o último ponto de trânsito até ao local final de entrega. [2]

8.2. Soluções existentes

8.2.1. Roteamento de veículos

8.2.1.1. Otimização do roteamento de veículos (VRO)

A otimização do roteamento de veículos, é um conceito que procura calcular a rota de entrega mais ideal através da interpretação e gestão de dados e aplicação da inteligência preditiva [2].

Nos dias de hoje, o VRO é também uma ferramenta utilizada para reduzir a poluição ambiental. Com o contínuo crescimento do número de encomendas, é importante encontrar rotas que, gastando o mínimo de recursos, consigam suprir o máximo de encomendas realizadas. O VRO calcula a rota de acordo com condições específicas, desde a distância percorrida, o número de veículos utilizados e o tempo total de transporte [3].

De modo a ilustrar um exemplo que dá uso à otimização de rotas, apresentamos o exemplo da UBER[4]. A UBER – prestadora de serviços eletrónicos na área do transporte privado – trabalha constantemente com o tratamento de informação para entregar ao cliente um serviço de qualidade e preciso, entregando a estimativa entre duas zonas numa determinada hora, num determinado dia[4]. Os condutores da Uber utilizam o smartphone para trabalhar, o mesmo está sempre conectado à internet e com o GPS ligado, a cada viagem a informação é anonimizada, contudo o tempo e localização entre zonas é recolhido e guardado a cada quatro segundos o que resulta na sincronização de condutores com clientes, direção do ícone do automóvel na aplicação e sobretudo, estimativas precisas[4].

8.2.1.2. Problema do roteamento de veículos (VRP)

A Janela de Tempo corresponde ao número de clientes a serem visitados, num determinado intervalo. O artigo revê os algoritmos exatos propostos nas últimas três décadas[5]. O *Problema de Encaminhamento de veículos com Janela de Tempo* (VRPTW) tem sido amplamente estudado na literatura *Operations Research* (OR) dadas as suas aplicações cada vez mais difundidas, que vão desde o agendamento de autocarros escolares até à entrega de pacotes[5].

Foram desenvolvidos vários métodos de *Machine Learning* (ML) para combater problemas combinados e para alavancar uma estrutura complexa de dados, mas pouco tem sido feito para aplicar estas técnicas ao VRPTW[5].

O artigo trata possibilidades de resolução da VRPTW em larga escala sem o roteamento clássico ou de encaminhamento, propondo um algoritmo de duas fases[5]. Na primeira, um algoritmo de *clustering* (agrupamento de dados) alavancando as *Árvores de Classificação Ideal* (OCT) que visa dividir os clientes em subconjuntos menores. Já na segunda fase, é apresentada uma **aprendizagem de reforço** de *ator-crítico* (RL) para resolver o VRPTW nestes agrupamentos de clientes mais pequenos[5].

Os resultados mostram que a abordagem de *clustering* é competitiva no que diz respeito a um *clustering K-means-based*, produzindo melhorias até 5% em termos de número de veículos, e que uma abordagem RL pode resolver com sucesso instâncias VRPTW de tamanho médio, proporcionando resultados de otimização semelhantes aos solucionadores industriais de última geração[5].

8.2.2. Previsão do tempo de entrega

As empresas organizam e planeiam as rotas de entrega com base no tempo estimado entre paragens, se estas estimativas não forem precisas a qualidade do serviço entregue não é favorável. O artigo avalia a viabilidade das técnicas de ML para avaliar os tempos de previsão das entregas – previsão do tempo final da entrega e verificação se o mesmo cumpre a janela predefinida[6]. Para a avaliação, os modelos treinados usaram informação gerada de dados GPS coletados em Medellín, Colômbia e foram comparados com modelos de duração de perigo[6].

Relativamente aos resultados da avaliação, concluiu-se que embora os *Modelos de Regressão* (RM) e modelos de classificação serem usados para prever o tempo de entregas, os *Modelos de duração de risco* (HDM) são recomendados face aos modelos de regressão para previsões de tempo de entrega. O *K-nearest-neighbor* (KNN) fornece melhores resultados ao prever se o tempo de previsão de entrega excede o limite que a combinação entre dois níveis (KNN e RM/HDM) melhora a previsão do tempo de entrega[6].

A Amazon tem trabalhado em conjunto com a Inawsisdom, parceiro de consultoria *premier* da AWS, para ajudar várias empresas no setor do transporte e logística com metodologias de ML para prever prazos de entrega precisos[7]. A Aramex - empresa de logística no Médio Oriente - está a conduzir um programa de revolução para o comércio digital, e está a processar milhares de remessas para todo o mundo dando uso a ferramentas de *crowdsourcing*, investindo em novas tecnologias e veículos autónomos[7]. O modelo de ML da Amazon ajudou a aumentar a precisão dos tempos de entrega em 74% e os volumes de *call center* em 40%[7].

8.2.3. Previsão da energia – veículos elétricos

8.2.3.1. Autonomia limitada

A autonomia limitada de um veículo elétrico é um aspeto muito importante a se ter em conta, pois o mesmo pode ser afetado por fatores incertos como as condições de circulação.

O artigo trata o Problema de Roteamento de Veículos Elétricos dependentes do tempo com restrições de chance (EVRP-CC) e recarga parcial[8]. O método de roteamento é dividido em duas etapas, a primeira procura os melhores percursos, a segunda otimiza as rotas. Propõe-se uma abordagem probabilística de aprendizagem de uma máquina de Bayesian – paradigma de construção de modelos estatísticos baseados no Teorema de Bayes - para se prever o consumo de energia esperado e a variação para as ligações rodoviárias, caminhos e rotas[8]. O estudo foi validado com dados de autocarros elétricos que fazem a rota Gotemburgo-Suécia bem como com simulações realistas para o tráfego de 24 horas na cidade de Luxemburgo conectado a um modelo de veículo de alta-fidelidade[8]. As soluções de roteamento são comparadas com uma formulação determinística do problema semelhante às encontradas na literatura[8].

Os resultados indicam alta precisão para a previsão de energia, bem como economia de energia e maior confiabilidade para as rotas[8].

8.2.3.2. Demanda de energia

Sendo a energia um bem de primeira necessidade, devido à brutalidade da sua utilização, existem grandes chances de interrupção do fornecimento de energia. É de extrema importância a segurança do fornecimento de energia. O artigo propõe um modelo de **aprendizagem por reforço** de como lidar com as incertezas na oferta e demanda de energia considerando que os veículos elétricos possuem vários recursos energéticos – painéis fotovoltaicos, baterias – que partilham unidades de geração de energia e armazenamento reduzindo assim custos de energia[9].

O desempenho do modelo de **aprendizagem por reforço** é avaliado sob diferentes configurações de consumidores e veículos elétricos, e comparado com os resultados do CPLEX e três algoritmos heurísticos[9].

Os resultados da simulação demonstram que o algoritmo de aprendizado por reforço pode reduzir os custos de energia em até 22,05%, 22,57% e 19,33% em comparação com os resultados do algoritmo genético, otimização de enxame de partículas e algoritmo de enxame de peixes artificiais, respetivamente[7].

8.2.4. Prevenção de Erros

O minimizar a ocorrência do envio de encomendas com a morada destino incorreta, que resulta em custos financeiros e ecológicos inúteis, propõe uma abordagem de correspondência de entidades e um sistema para as validações de entidades de Transporte de Logística através de **técnicas de Word Embedding e Aprendizagem Supervisionada**[10] .

8.2.5. Inovação

Como referido, o aumento do número de encomendas tem um impacto negativo no ambiente e na segurança. Desta forma, novos conceitos de última milha incluem entregas usando *drones* ou pequenos robôs autônomos terrestres, distribuição de mercadorias por veículos elétricos, entregas no porta-malas de carros estacionados, distribuição combinada de transporte de carga com veículos públicos e privados, logística reversa, *crowdsourcing* de entregas ou armários móveis com fechadura[2, p.2][11].

8.3 Conclusões do estudo bibliográfico

A otimização das técnicas tradicionais, que leva à utilização da *Big Data* e técnicas analíticas é uma mais-valia para as organizações, uma vez que através da análise das informações recolhidas, é possível fazer balanços e tomar decisões que potenciam lucros e diminuem custos ambientais[1].

A otimização do Roteamento De Veículos é mais uma prova de que a otimização dos recursos eleva a produtividade da organização, já que são constantemente tidos em conta diversos aspetos que nas metodologias mais tradicionais não eram (p.e. volatilidade do trânsito)[3].

Relativamente ao problema do Roteamento De Veículos Numa Janela De Tempo, através da implementação da aprendizagem por reforço foram notadas melhorias relativamente ao número de veículos necessários[5].

De forma às empresas cumprirem os seus prazos de entrega, o planeamento e organização das rotas e recursos têm de ser bem alocados. A adoção de metodologias ML é uma mais-valia, como ilustrado no exemplo da Amazon, em que aumentou a precisão dos tempos de entrega em 74% e os volumes de *Call Center* em 40%[7].

A utilização e adoção de veículos elétricos nesta indústria é cada vez mais perceptível, e para isso existe uma necessidade de uma boa gestão da energia das baterias[5][8].

Como em todas as áreas de interesse, existe sempre espaço para a inovação, já se fala em utilizar *drones* e robôs para efetuar o transporte de mercadorias para se reduzir a poluição e o trânsito de veículos de mercadorias nas grandes cidades[2][11].

9 – Avaliação da questão das alterações dinâmicas das entregas

Para a realização das alterações dinâmicas foi necessário a criação dinâmica da base de conhecimento para o algoritmo genético. Primeiramente, foi criado um *handler* que recebe os *requests* vindos de <http://localhost:4201/api/Planning> e redireciona para o predicado *plan/1*.

```
:- http_handler('/api/Planning', plan, []).

:-dynamic (paths/7).
:-dynamic (trucks/6).
:-dynamic (warehouses/2).
:-dynamic (deliveries/6).
:- json_object dto(id:string, email:string).
:- json_object joyDistressDto(joy:float, distress:float).

:- initialization
    http_server(http_dispatch,[port(4201)]).
```

Figura 14 - Handler e inicialização do servidor prolog

No predicado *plan/1*, definimos os parâmetros que vão ser recebidos do *request*, para depois enviar para o predicado *planeamento_plate_data/9*, quando esse método acabar, é formatado uma resposta para o *request* com as informações necessárias em formato *JSON*.

No método *planeamento_plate_data/9* é onde acontece a parte principal da funcionalidade, visto que é aqui onde iremos chamar os predicados que fazem os *requests* às respetivas bases de dados, interpretação da informação vinda da base de dados e por fim, escrever num ficheiro chamado de *KnowledgeBase.pl*.

Como podemos ver no caso dos caminhos, na Figura 15, com o predicado *http_open/3* será feito o *request* para o modulo de logística, que retornará em formato *JSON* o respetivo pedido. Utilizamos o predicado *json_read_dict/3* e o *getPathsInfo/3* para tratar a informação do *JSON* recebido do *request*.

```
getPaths(Plate):-
    (destroy_paths();true),
    atom_concat('http://localhost:3000', '/api/Paths', Url),
    http_open(Url, ResultJSON, []),
    json_read_dict(ResultJSON, ResultObj),
    getPathsInfo(ResultObj, Plate, ResultValue),
    createDynamicPaths(ResultValue),
    length(ResultValue,Tam),
    writePathsToFile(ResultValue,'KnowledgeBase.pl',0,Tam),
    close(ResultJSON).
```

Figura 15 – Exemplo de predicado responsável por fazer request aos módulos e preparar para escrita no ficheiro

Para terminar, no predicado *writePathsToFile/4*, são construídas as várias strings do ficheiro com a informação anteriormente tratada. Este conjunto de *strings* vai ser então adicionado ao ficheiro *KnowledgeBase.pl*.

Posteriormente à escrita da base de conhecimentos, é chamado o algoritmo de planeamento seleccionado e no fim da sua execução o resultado é persistido na Base de dados.

```
writePathsToFile([],_,_,_).
writePathsToFile([P,IS,IE,D,T,E,EX|L],Ficheiro,Modo,Tam):-
    T1 is T.hours*60 + T.minutes + T.seconds/60,
    EX1 is EX.hours*60 + EX.minutes + EX.seconds/60,
    open(Ficheiro,append,Writer),
    string_concat('','dadosCam_t_e_ta('',Dados),
    string_concat(Dados,P,Dados1),
    string_concat(Dados1,',',Dados2),
    string_concat(Dados2,IS,Dados3),
    string_concat(Dados3,',',Dados4),
    string_concat(Dados4,IE,Dados5),
    string_concat(Dados5,',',Dados6),
    string_concat(Dados6,D,Dados7),
    string_concat(Dados7,',',Dados8),
    string_concat(Dados8,T1,Dados9),
    string_concat(Dados9,',',Dados10),
    string_concat(Dados10,E,Dados11),
    string_concat(Dados11,',',Dados12),
    string_concat(Dados12,EX1,Dados13),
    string_concat(Dados13,').',Dados14),
    write(Writer,Dados14),
    nl(Writer),
    ModoNovo is Modo + 7,
    writePathsToFile(L,Ficheiro,ModoNovo,Tam),
    close(Writer).
```

Figura 16 - Exemplo de predicado para escrita no ficheiro

Em forma de conclusão, foi abordada desta maneira a realização da funcionalidade para que sempre que fosse executado um *request* para o planeamento, a informação a ser utilizada nos algoritmos fosse gerada dinamicamente, de acordo com o que estava nas respetivas bases de dados naquele momento. Assim, quando for removida uma entrega, apenas é necessário voltar a utilizar o método de planeamento.

10 – Conclusões

Este relatório abordou quer o Algoritmo Genético desenvolvido neste sprint, as alterações feitas e uma completa análise à eficácia do mesmo, como também relata a importância da Inteligência Artificial no ramo da logística, enumerando algumas aplicações.

Com isto, além de todas as conclusões alcançadas em cada tópico do relatório, podemos destacar também que a aplicabilidade do Algoritmo Genético é vasta, podendo ser utilizado em vários setores relevantes no quotidiano da comunidade.

Na nossa opinião, a Inteligência Artificial assumirá um papel cada vez mais presente no dia a dia de todos, uma vez que melhora processos tradicionais, otimizando assim recursos e metodologias.

Em suma, a realização deste trabalho não só fomentou, em todos os elementos do grupo, competências técnicas referentes ao tema em questão, como despertou o interesse do grupo nesta área.

Referências

- [1] N. Giuffrida, J. Fajardo-Calderin, A. D. Masegosa, F. Werner, M. Steudter, and F. Pilla, "Optimization and Machine Learning Applied to Last-Mile Logistics: A Review," *Sustain.* 2022, Vol. 14, Page 5329, vol. 14, no. 9, p. 5329, Apr. 2022, doi: 10.3390/SU14095329.
- [2] P. Jucha, "Use of artificial intelligence in last mile delivery," *SHS Web Conf.*, vol. 92, p. 04011, 2021, doi: 10.1051/SHSCONF/20219204011.
- [3] "AI as the Ultimate Disrupter in Logistics: How to Manage Last-Mile Costs? | by ODSC - Open Data Science | Medium." <https://odsc.medium.com/ai-as-the-ultimate-disrupter-in-logistics-how-to-manage-last-mile-costs-c4874e8f2ea0> (accessed Dec. 29, 2022).
- [4] "Uber Movement: Travel Times Calculation Methodology."
- [5] J. Pouillet, "Leveraging Machine Learning to Solve the Vehicle Routing Problem with Time Windows," 2020.
- [6] S. Hughes, S. Moreno, W. F. Yushimito, and G. Huerta-Cánepa, "Evaluation of machine learning methodologies to predict stop delivery times from GPS data," *Transp. Res. Part C Emerg. Technol.*, vol. 109, pp. 289–304, Dec. 2019, doi: 10.1016/J.TRC.2019.10.018.
- [7] "How to Predict Shipments' Time of Delivery with Cloud-based Machine Learning Models | AWS for Industries." <https://aws.amazon.com/pt/blogs/industries/how-to-predict-shipments-time-of-delivery-with-cloud-based-machine-learning-models/> (accessed Jan. 01, 2023).
- [8] R. Basso, B. Kulcsár, and I. Sanchez-Diaz, "Electric vehicle routing problem with machine learning for energy prediction," *Transp. Res. Part B Methodol.*, vol. 145, pp. 24–55, Mar. 2021, doi: 10.1016/J.TRB.2020.12.007.
- [9] M. Alqahtani and M. Hu, "Dynamic energy scheduling and routing of multiple electric vehicles using deep reinforcement learning," *Energy*, vol. 244, p. 122626, Apr. 2022, doi: 10.1016/J.ENERGY.2021.122626.
- [10] Y. Guermazi, S. Sellami, and O. Boucelma, "Address Validation in Transportation and Logistics: A Machine Learning Based Entity Matching Approach," *Commun. Comput. Inf. Sci.*, vol. 1323, pp. 320–334, 2020, doi: 10.1007/978-3-030-65965-3_21/COVER.
- [11] A. Arishi, K. Krishnan, and M. Arishi, "Machine learning approach for truck-drones based last-mile delivery in the era of industry 4.0," *Eng. Appl. Artif. Intell.*, vol. 116, p. 105439, Nov. 2022, doi: 10.1016/J.ENGAPPAI.2022.105439.